INFORME ANUAL INCENDIOS FORESTALES CASTILLA-LA MANCHA

AÑO 2025

Versión reducida

UNIDAD DE ANÁLISIS Y PLANIFICACIÓN (UNAP)

Infocam
Incendios Forestales
Castilla-La Mancha

Castilla-La Mancha

INDICE DE CONTENIDOS

1. RESUMEN 3

2. COMPORTAMIENTO DEL FUEGO 4

2.1. Contexto meteorológico y efecto en el comportamiento del fuego 4

2.2. Comportamientos significativos 6

3. INDICADORES DE LA PROPAGACIÓN 10

3.1. Escenario de propagación 10

3.2. Índice de Propagación Potencial (IPP) 11

4. ESTADO DE LOS COMBUSTIBLES 13

5. ESTADISTICA 15

5.1. Comparativa estadística con el último decenio 15

5.2. Causalidad de incendios forestales 18

6. CONCLUSIONES 19

ACRÓNIMOS

AEMET: Agencia estatal de meteorología, dependiente del Ministerio para la transición ecológica y reto democrático.

CLM: Siglas utilizadas para referirse a la comunidad autónoma de Castilla-La Mancha.

EPA: Época de peligro alto y extremo, definida por el Plan INFOCAM por el periodo comprendido entre el 1 de junio y 30 de septiembre.

EPB: Época de peligro bajo, definida por el Plan INFOCAM del 1 de enero a 30 de abril y de 1 de noviembre a 31 de diciembre, a excepción de la Semana Santa**.**

EPM: Época de peligro medio, definida por el Plan INFOCAM del 1 al 31 de mayo y del 1 al 31 de octubre. El periodo de Semana Santa comprendido entre ambos fines de semana, incluidos los mismos, se considerará de forma habitual como de peligro medio (9 días).

fAPAR: Fracción de la radiación fotosintéticamente activa, que es absorbida por la vegetación en el proceso de fotosíntesis, por sus siglas en inglés (*Fraction of Absorbed Photosynthetically Active Radiation*).

IPP: Índice de propagación potencial, definida por Plan INFOCAM como índice de peligro que evalúa la posible propagación del incendio forestal en función de la disponibilidad de los combustibles forestales y los parámetros meteorológicos diarios.

NDVI: Índice de vegetación de diferencia normalizada, por sus siglas en inglés (Normalized Difference Vegetation Index).

RfAPAR: Relativización del índice fAPAR, entre los valores de los percentiles 5 y 95 de la serie histórica, por sus siglas en inglés (Relativized Fraction of Absorbed Photosynthetically Active Radiation).

RG: Relativización del índice NDVI, entre los valores de los percentiles 5 y 95 de la serie histórica, por sus siglas en inglés (Relative Greeness).

UNAP: Unidad de análisis y planificación del adscrita al servicio de prevención y extinción de incendios forestales de Castilla-La Mancha.

1. RESUMEN

El Informe Anual de Incendios Forestales de Castilla-La Mancha 2025 analiza de forma integral la evolución del comportamiento del fuego, el estado de los combustibles, los indicadores de propagación y la estadística de incendios ocurridos en la región durante el año 2025. El año 2025 revela una anualidad de elevada complejidad técnica, marcada por una evolución escalonada de la peligrosidad y del comportamiento del fuego que, en diversos episodios, superaron la capacidad de extinción.

Desde una perspectiva estadística, 2025 se situó como el segundo año con mayor número de incidentes del último decenio, alcanzando los 1.606 incendios y afectando a más de 7.473 hectáreas de superficie forestal. Este escenario fue el resultado de una dinámica meteorológica que generó saltos cualitativos en el comportamiento del fuego, impulsados por la evolución de los combustibles.

La evolución del riesgo fue escalonada y estuvo directamente ligada al estado de la vegetación. Tras un inicio de año con déficit hídrico, la primavera resultó excepcionalmente húmeda, lo que provocó un crecimiento masivo de la biomasa herbácea. Posteriormente, el episodio de altas temperaturas a finales de mayo causó un agostamiento súbito de este tipo de combustible, creando una gran carga de combustible muerto altamente disponible. Esta situación facilitó que, durante los primeros meses del verano, los incendios se propagaran rápidamente de forma superficial, lo que, junto con episodios meteorológicos adversos favoreció la aparación de incendios fuera de capacidad de extinción, como el caso del incendio de Méntrida (2984 ha). El punto de inflexión definitivo ocurrió en agosto, cuando una ola de calor extrema provocó una alta degradación del combustible vivo, reduciendo la humedad de especies arbustivas y arbóreas a niveles críticos. Este fenómeno permitió que el fuego involucrara activamente el estrato arbóreo y arbustivo, generando incendios de alta intensidad y gran complejidad técnica, como los de Cardoso de la Sierra (2.410 ha) y Navalmoralejo (2978 ha).

En cuanto a la causalidad, el informe destaca que los incendios intencionados y las negligencias fueron los más frecuentes en cuanto a las causas. No obstante, las causas naturales, principalmente rayos durante tormentas secas, fueron responsables del 42% de la superficie forestal quemada. Durante el año 2025 el incremento significativo de superficie afectada por causas naturales está directamente relacionado con el incendio forestal de El Cardoso de la Sierra (GU; 21/09/2025; 2.410 ha), favorecido por una alta disponibilidad del combustible forestal, siendo una zona que históricamente no está adaptada al régimen térmico y a la ausencia de precipitación sufrida durante la EPA 2025.

Finalmente, la EPM (octubre) e inicio de EPB (primera quincena de noviembre) quedaron caracterizadas por una alta disponibilidad del combustible forestal que mantuvo el riesgo hasta principios de noviembre, donde la mejora del escenario meteorológico y el registro de precipitación, permitieron una recuperación de la humedad de los combsutibles forestales y una diminución de la actividad de fuego.

Durante el año 2025 la acumulación de biomasa (especialmente estrato herbáceo) y el estrés hídrico acumulado (aumentando masivamente la disponibilidad del combustible) fueron los factores determinantes en la evolución del comportamiento del fuego.

2. COMPORTAMIENTO DEL FUEGO

2.1. Contexto meteorológico y efecto en el comportamiento del fuego

El comportamiento del fuego en Castilla-La Mancha a lo largo del año 2025 estuvo estrechamente condicionado por la evolución meteorológica y, especialmente, por la dinámica del estado de los combustibles forestales y no forestales. El año se caracterizó por una sucesión de fases claramente diferenciadas, en las que se produjeron varios saltos cualitativos en el comportamiento del fuego, asociados tanto a anomalías térmicas como a episodios de estrés hídrico acumulado.

Durante el primer trimestre del año, el escenario estuvo dominado por una alternancia entre situaciones anticiclónicas persistentes y el paso de frentes atlánticos poco activos, con un balance de precipitación escaso, especialmente en la mitad oriental de la región. Este déficit hídrico temprano concentró la actividad de fuego en estas zonas, si bien se trató de una actividad limitada, con un bajo número de intervenciones semanales y propagaciones de baja a media intensidad, sin comportamientos significativos. Las estructuras de propagación estuvieron ligadas fundamentalmente a la acumulación de combustible fino muerto en zonas agrícolas y de ribera, sin participación del combustible vivo. No obstante, en periodos prolongados de estabilidad anticiclónica comenzaron a observarse propagaciones nocturnas puntuales, anticipando una progresiva pérdida de recuperación hídrica.

El **primer gran punto de inflexión** se produjo en primavera. Según AEMET, la primavera de 2025 tuvo un carácter “muy húmedo”, con anomalías pluviométricas muy positivas, especialmente en la mitad occidental de Castilla-La Mancha. Este régimen hídrico favoreció un **incremento excepcional del combustible herbáceo**, tanto en carga como en continuidad espacial, configurando un escenario altamente predisponente para fases posteriores. Este crecimiento fue especialmente notable en las provincias de Ciudad Real y Toledo. A finales de mayo, la entrada de una **dorsal africana** con temperaturas anormalmente elevadas desencadenó un **agostamiento acelerado del estrato herbáceo**, favoreciendo que esta tipología de combustible actuara como el principal desencadenante de las propagaciones. Este proceso incrementó notablemente la capacidad de propagación superficial y favoreció, por primera vez en el año, una **disponibilidad parcial del combustible vivo**, siempre condicionada por la carga y continuidad del combustible muerto. Este episodio marcó la transición desde un escenario de bajo riesgo a un **escenario de riesgo alto**, constituyendo el primer episodio meteorológico claramente adverso.

El **comienzo de la época de peligro alto y extremo (EPA)**, estuvo marcado por la alternancia entre masas de aire frío en altura (con tormentas secas) y nuevas entradas cálidas asociadas a la dorsal africana. En la primera quincena de junio predominaron las propagaciones sobre combustible fino muerto, mayoritariamente de carácter no forestal. Sin embargo, en la **segunda quincena**, coincidiendo con la **primera ola de calor del año (18 de junio – 4 de julio)**, se observaron los **primeros comportamientos significativos de fuego**. Ejemplos representativos son los incendios de **Chinchilla de Montearagón (Albacete, 231 ha)** y **Burujón (Toledo, 478 ha)**. En estos casos, el motor de propagación estuvo asociado a tormentas, con vientos erráticos y racheados, propagaciones sin dirección definida y penetraciones en zonas forestales desde áreas abiertas con pasto. Comenzaron a observarse **antorcheos puntuales**, focos secundarios a corta distancia y consumo total de brotes verdes en situaciones de alineación favorable.

El mes de **julio** a pesar de estar precedido por una ola de calor prolongada, durante la primera quincena no se observaron comportamientos especialmente relevantes. No obstante, este periodo consolidó el **agostamiento masivo del combustible herbáceo**, especialmente en la mitad occidental. La alternancia de dorsales y vaguadas mantuvo una atmósfera inestable, preparando el escenario para el siguiente salto. Este salto se materializó en la **segunda quincena de julio**, cuando se produjo un aumento brusco de la disponibilidad del combustible y un cambio claro en el comportamiento del fuego. Se incrementó la facilidad de acceso al combustible vivo, incluso en ausencia de alineaciones extremas, y comenzaron a registrarse **consumos significativos de matorral y arbolado**. El incendio de **Luciana (Ciudad Real, 25 ha)** ejemplifica esta penetración desde zonas agrícolas hacia monte. De mayor magnitud fue el incendio de **Méntrida (Toledo, 3.240 ha)**, donde el viento actuó como principal motor de propagación, afectando a estructuras agrícolas, forestales e interfaz urbano-forestal, y superando ampliamente los umbrales de extinción. El **mes de agosto** supuso el **mayor salto en el comportamiento del fuego del año**. La segunda ola de calor (3–18 de agosto), una de las más intensas registradas en España, incrementó de forma generalizada la **disponibilidad del combustible vivo**, cuyos efectos se prolongaron durante semanas. El día **8 de agosto** se identifica como un episodio clave de simultaneidad regional, con accesos generalizados al combustible vivo en zonas forestales. Incendios como **La Huerce (Guadalajara, 24 ha)** evidencian la aparición de **altas intensidades en zonas tradicionalmente menos activas**. Durante este periodo se registraron incendios relevantes como **Navalmoralejo (Toledo-Cáceres, 2978 ha)** y **Anchuras (Ciudad Real, 75 ha)**, con saltos a media distancia y propagaciones rápidas en estructuras forestales abiertas con elevada carga herbácea. En **septiembre**, el escenario estuvo condicionado por una elevada disponibilidad de combustible forestal. Tras una breve mejora meteorológica inicial, a partir del **11 de septiembre** se produjo un aumento de la actividad de fuego, coincidiendo con la entrada de una masa cálida y seca. Se observó por primera vez una **participación del combustible vivo incluso en ausencia de combustible muerto superficial**, junto con lanzamientos de focos secundarios a media y larga distancia y comportamientos fuera de capacidad de extinción. Ejemplos destacados son los incendios de **Polán (Toledo, 314 ha)** y **Cardoso de la Sierra (Guadalajara, 2.410 ha)**, que reflejan la transición hacia incendios de alta intensidad y gran complejidad, especialmente este último, en una zona que históricamente no está adaptada al régimen térmico y a la ausencia de precipitaciones que caracterizaron la EPA 2025.

La **época de peligro medio (EPM)** se inició con un estado de combustibles muy degradado y una disponibilidad elevada de combustible leñoso, especialmente en la provincia de Toledo. El incendio de **Almorox (Toledo, 399 ha)** evidencia que, incluso con una ligera recuperación de la humedad ambiental, los incendios podían alcanzar comportamientos significativos en presencia de viento o convección. Durante la EPM y la posterior entrada en época de peligro bajo, las incidencias disminuyeron progresivamente, predominando fuegos de **media intensidad en superficie**, con accesos puntuales al combustible vivo, como en **Camuñas** o **Pozuelo de Calatrava**.

Finalmente, el año concluyó con un descenso acusado de la actividad, asociado a la mejora de las condiciones meteorológicas, aunque con escasa precipitación. En conjunto, 2025 se caracterizó por un contexto térmico extremadamente cálido y una pluviometría irregular, factores que explican la **evolución progresiva hacia incendios más intensos, complejos y con mayor participación del combustible vivo**, marcando varios puntos de inflexión clave en el comportamiento del fuego en Castilla-La Mancha.

2.2. Comportamientos significativos

Se entiende por comportamientos significativos aquellas incidencias que presentan una superficie forestal afectada >25 ha, no forestal >100 ha y aquellas incidencias que proporcionan información relevante para un correcto seguimiento del comportamiento del fuego en la región, como por ejemplo consumos de vegetación, parámetros de comportamiento y zona afectada entre otros.

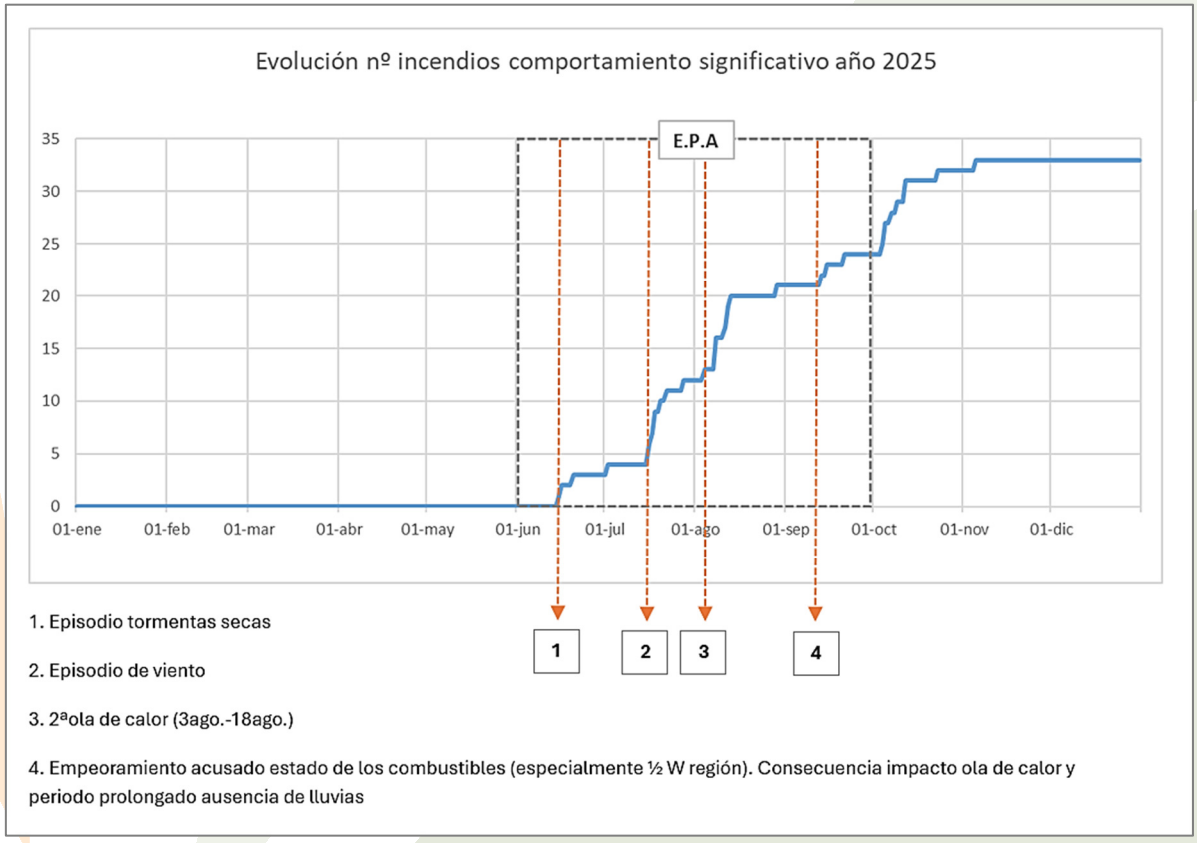

Figura 1. Evolución nº incidencias significativas

Durante el año 2025 se observa que el mayor número de incidencias significativas se concentra en la mitad occidental de la región. Esto se relaciona directamente con una mayor carga de combustible herbáceo (siendo esta la principal estructura propagadora). Además, esta área también ha presentado mayor disponibilidad de combustible vivo de acuerdo con mediciones de humedad e índices satelitales.

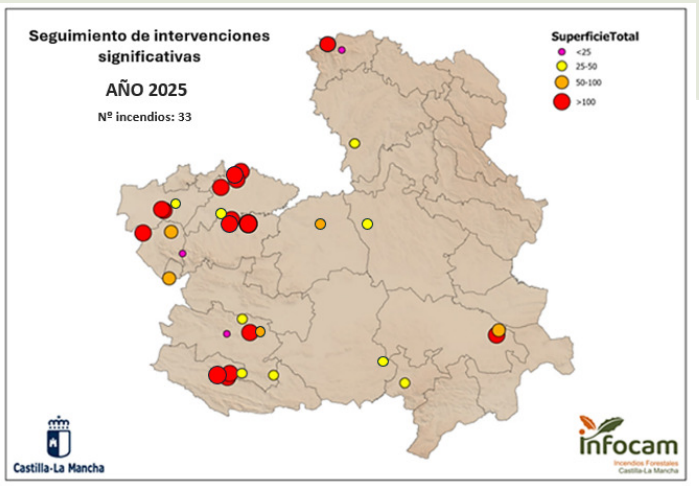

Figura 2. Distribución incidencias significativas CLM

Tabla 1: resumen comportamientos significativos año 2025 (orden: más reciente a más antiguo)

Ubicación	Superficie	Intensidad	Motor del incendio	Parámetros de fuego	FS	Observaciones
Pozuelo de Calatrava (CR) 05/11/2025	66 ha	Media	Viento	SIN DATOS	SIN DATOS	Consumo total combustible muerto con afección parcial al medio. Quercineas de porte bajo parcialmente afectadas Influenciado por vientos erráticos fuertes, por aproximación de frente frío. Salto de frente a corta distancia 3-4m.
Talavera de la Reina (TO) 23/10/2025	40 ha	Media	Viento	SIN DATOS	SIN DATOS	Incendio iniciado junto a vía de comunicación propagando en zona forestal con afección a combustible 1HR y soflamado puntual de pies de encina
Montiel (CR) 12/10/2025	44,5 ha	Media	Viento	SIN DATOS	SIN DATOS	Zona forestal con afección a combustible 1HR sin afección a combustible vivo (retama principalmente).
Huerta de Valdecarábanos (TO) 12/10/2025	52,69 ha	Alta	Viento	SIN DATOS	NO	Estructura de espartizal sin presencia de pies arbóreos. Consumo total de combustible 1HR y esparto
Almorox (TO) 09/10/2025	393,19 ha	Media-Alta	Viento	Velocidad propagación media: 7 m/min Tasa propagación media: 45 ha/h	SIN DATOS	Consumo total comb muerto. Consumo parcial comb vivo estrato arbustivo (retama). Antorcheo puntual estrato arbóreo (encina). Zona de alta carga y continuidad 1HR. Altos módulos de viento. Alta presencia de arroyos y zonas pedregosas. Propagación potencial NOCTURNA. Interfaz urbano-foretal
Rielves (TO) 07/10/2025	182,86 ha	Media	Viento	SIN DATOS	SIN DATOS	Zona de interfaz agrícola-forestal con presencia de retama. Afección total a combustible 1HR y sin afección de combustible vivo
Brazatortas (CR) 05/10/2025	118,19 ha	Media	Viento	Velocidad propagación máxima = 1km/h Tasa propagación máxima = 80 ha/h	SIN DATOS	Superficial. Propagación sustentada por comb. fino muerto. Consumo total de 1HR superficial y antorcheo puntual de estrato arbóreo en zonas de mayor acumulación de fino muerto Presencia de arroyos. Inicio próximo a río Tablillas. Sin dato de focos secundarios
Lominchar (TO) 05/10/2025	27,1 ha	Media	Viento	SIN DATO	SIN DATOS	Zona de interfaz agrícola-forestal con presencia de retama. Afección total a combustible 1HR y sin afección de combustible vivo. Combustible 1HR con altura de 0,5-1m
Villamayor de Santiago (CU) 04/10/2025	25,3 ha	Media	Combustible	SIN DATO	SIN DATOS	Afección a arroyo. Propagación nocturna parcial. Zona de interfaz agrícola-forestal con presencia de retama. Afección total a combustible 1HR
Cardoso de la Sierra (GU) (21/09/2025)	2.410 ha	Alta-Muy alta	Viento - topográfico	Velocidad propagación media: 1,86 m/min Tasa propagación media: 15 ha/h	Masivos corta-media distancia (0-500m) y puntuales a largas distancias (>500m)	Incendio con avance por viento N-NW. Propagación en descenso y carreras topográficas de intensidad variable según alineación. Combustible de matorral de alta montaña (2.000 msm) con alta disponibilidad a pesar de condiciones meteorológicas favorables
Puertollano (CR) (15/09/2025)	20,50 ha	Alta	Topográfico	Velocidad propagación media: 14,3 m/min Tasa propagación media: 17 ha/h	SIN DATOS	Incendio topográfico (afección leve viento SW a favor pendiente) con propagación inicial fuera de capacidad de extinción. Consumo total de comb. fino muerto y hojas verdes y ramillos. Existencia de vías (zonas de oportunidad) limitando el avance. Cambio viento a NW frenando avance en zona de cresta
Polán (TO) (13/09/2025)	314,54 ha	Media-Alta	Viento-Topográfico	Velocidad propagación: 16 m/min Tasa propagación media: 109 ha/h	SIN DATOS	Incendio conducido por viento inicial de W-NW. Propagación en zona con acumulación de combustible muerto y zonas de arroyos con acceso a comb. vivo. Impacto en Ecoparque Toledo. Durante la noche afección viento NE con apertura de zonas hacia el S-SW.
Loranca de Tajuña (GU) (29/08/2025)	38,83 ha	Media/Alta	Viento-Topográfico	Velocidad propagación: 7,77 m/min Tasa propagación media: 18,50 ha/h	Puntuales corta distancia (<50m)	Incendio sobre zona forestal con afección inicial de viento con dirección a población de Loranca de Tajuña. Intensidad media con afección principal de fino y medio muerto. Afección puntual a encinas en zonas de mayor alineación. Salto de algunas vías estrechas.

Ubicación	Superficie	Intensidad	Motor del incendio	Parámetros de fuego	FS	Observaciones
Aldea del Rey (CR) (13/08/2025)	31,57 ha	Alta	Topográfico-Viento	Velocidad propagación media: 10 m/min Tasa propagación media: 19 ha/h	SIN DATOS	Propagación sobre combustibles finos muertos, con participación pasiva de combustibles vivos en zonas de mayor acumulación de muerto y plena alineación.
Alberche del Caudillo (TO) (12/08/2025)	692 ha	Alta/Muy Alta	Viento	Velocidad propagación diurna: 60 m/min	Puntuales y masivos corta distancia (<50m)	Incendio con propagación nocturna iniciado durante la tarde en zona de interfaz urbano-agrícola en alta y muy alta intensidad movido por viento fuerte, que no disminuyó durante la noche. Varios cambios de dirección que permitió el avance de los flancos.
Anchuras (TO) (12/08/2025)	75,18 ha	Alta/Muy Alta	Viento	Velocidad propagación media: 30m/min* Tasa propagación media: 80ha/h	Puntuales media distancia (300 m)	Incendio iniciado en las proximidades de Gamonoso quemando alta/muy alta intensidad por zona abierta de monte adehesado con rápida velocidad de propagación empujado por viento de W-NW consiguiendo saltar el curso fluvial contra el que impacta.
Navalmoralejo (TO) (11/08/2025)	2978 ha	Alta	Viento	Velocidad propagación media durante la tarde: 20m/min Tasa propagación media: 125 ha/h	Masivos corta distancia (<50m)	Incendio afectado inicialmente por viento de NNW sobre terreno ondulado de monte de matorral abierto, quemando en alta intensidad con saltos de pista. Apertura de flanco derecho por cambio de viento durante la noche (incremento significativo de superficie). Afección a poblaciones de Navalmoralejo y Villar de Pedroso.
Los Navalucillos (TO) (08/08/2025)	7,27 ha	Media-Alta	Topográfico	Velocidad propagación media: 9,26 m/min Tasa propagación: 8,07 ha/h	Puntuales media distancia (100-150 m)	Simultaneidad de incendios, en el entorno, comportamientos en media alta intensidad, alta disponibilidad de los combustibles vivos
Brazatortas (CR) (08/08/2025)	444,16 ha	Media-Alta	Viento	Velocidad propagación media: 17 m/min Tasa propagación media: 60 ha/h	SIN DATOS	Propagación inicial en alta alineación en zona forestal, dando acceso a zonas agrícolas al N, con interfaz de plantas fotovoltaicas. Mayores intensidades en FD cabeza, por acceso a zona de ribera/forestal. Acceso al comb. vivo en propagación inicial
La Huerce (GU) (08/08/2025)	24,4 ha	Muy alta-pasivo copas	Topográfico	Velocidad propagación media: 12m/min Tasa propagación: 5ha/h	Puntuales corta y media distancia (50-100m).	Media ladera en zona de acceso reducido, sobre pinar joven, con abundante acumulación de mantillo, lanzando carreras rápidas por pendiente en FD, con fuego pasivo de copas, emitiendo focos secundarios. Alto potencial de retorno.
Salobre (AB) (04/08/2025)	26, 01 ha	Alta-Media (Muy alta en algunos sectores)	Topográfico	Velocidad propagación media: 7m/min Tasa propagación: 13ha/h	Puntuales a corta y media distancia (50-150m)	Propagación sobre zona de pinar abierto con sotobosque denso con algunos claros y zonas de pedriza en cumbre. Se aprecian en tramos más energéticos participación del estrato arbóreo. El viento general, en contra de la propagación ascendente, lanza focos secundarios a ladera opuesta.
Brazatortas (CR) (29/07/2025)	229,1 ha	Media	Viento (Ausencia de componente definida)	Velocidad propagación media: 23m/min	Masivos a corta distancia (<50m)	Propagación sostenida sobre combustibles finos muertos. Intensidad mayor en combustibles muertos más densos de la laguna seca y zonas de arroyo. En parcelas agrícolas propagaciones rápidas.
Piedrabuena (CR) (22/07/2025)	42,88 ha	Media	Viento	Velocidad propagación media: 14m/min Tasa propagación: 20ha/h	Masivos a corta distancia (<50m) y puntuales a media-larga	Propagación sostenida sobre combustibles finos muertos. Interfaz agrícola-forestal. Los combustibles forestales frenaron la velocidad de avance, pero participaron de manera activa en la propagación.
Torre Esteban Hambran (TO) (20/07/2025)	94,87 ha	Baja-Media	Viento	Velocidad propagación media: 1km/h Tasa propagación media 71ha/h	Masivos corta distancia (<50m) y puntuales media distancia	Propagación conducida por combustibles finos muertos. Parcelas de cultivos, zonas forestales con alta presencia de comb. fino muerto y arroyos. Mayor intensidad en zonas de arroyo

Ubicación	Superficie	Intensidad	Motor del incendio	Parámetros de fuego	FS	Observaciones
Maqueda (TO) (18/07/2025)	501,78 ha	Media (Puntualmente Alta en zonas de ribera)	Viento	Velocidad propagación: 3km/h	Si, puntuales a corta distancia (<50m)	Propagación sobre zona de cultivos agrícolas con alta carga de comb. fino muerto que favoreció la propagación. Presencia de arroyos en el eje longitudinal de la propagación
Pozuelo de Cva (CR) (18/07/2025)	248,31 ha	Media (Alta zonas de río Guadiana)	Viento	Velocidad propagación: 2,7km/h	Puntuales corta distancia (<50m)	Propagación inicial sobre zona de cultivos agrícolas. Sector SUR propagación rio Guadiana (mayor intensidad). Propagación posterior sobre zonas de dehesa.
Méntrida (TO) 17/07/2025	2984,48 ha	Alta	Viento	Velocidad propagación media: 2,8 km/h Velocidad propagación máxima: 10,1 km/h Tasa propagación media: 504 ha/h Tasa propagación máxima: 1712 ha/h	Masivos corta distancia (<50m)	Incendio con propagación en zona de mosaico agrícola-forestal con propagación rápida en alta/media intensidad, con capacidad de salto de pistas y vías, incluida la autovía A-5. Impacto directo y afección a urbanización Calypo Fado.
Luciana (CR) 16/07/2025	20,89 ha	Alta	Viento	Velocidad propagación media: 10,6 m/min Tasa propagación media: 26,5 ha/h	SIN DATOS	Incendio iniciado en zona agrícola, con impacto en zona forestal. El impacto en zona forestal NO LIMITÓ EL AVANCE, dando acceso al combustible vivo con facilidad (alineación media. Viento calma-flojo). Muy alto % de consumo. Situación de simultaneidad en TO y CR.
Calera y Chozas (TO) 16/07/2025	134 ha	Media-Alta (según sector)	Viento	Velocidad de propagación media: 15-20 m/min	Puntual media distancia (200-210m)	Propagación por combustibles finos muertos con afección a combustibles vivos. Saltos de pistas y caminos en cabeza. Antorcheos puntuales. Situación de simultaneidad en TO y CR.
Alcaudete de la Jara (TO) 02/07/2025	107,94 ha	Media	Viento	Velocidad de propagación media: 10 m/min Tasa de crecimiento media: 14 ha/h	SIN DATOS	Propagación nocturna. Ignición producida por impacto de rayo. Propagación en superficie sin acceso al comb. vivo
Chinchilla de Monte-Aragón (AB) 20/06/2025	54 ha	Alta	Tormenta	Velocidad de propagación media: 7 m/min Tasa de crecimiento media: 66 ha/h	Puntuales corta distancia (20-30 m)	Afección de tormenta. Estructura afectada: *Pinus halepensis* + esparto
Burujón (TO) 16/06/2025	478,12 ha	Alta	Tormenta	Sin datos de comportamiento (sin dirección de propagación definida).	Si (Sin dato de distancia)	Direcciones de propagaciones opuestas (180º) por afección de vientos erráticos de tormenta.
Chinchilla de Monte-Aragón (AB) 15/06/2025	231 ha 3 focos simultáneos	Alta-Muy Alta	Tormenta	Sin datos de comportamiento (sin dirección de propagación definida). Altura de llama >2m	SIN DATOS	Simultaneidad de incendios en provincia de AB. 3 focos simultáneos por rayo en la misma zona. Afección de tormenta. Estructura afectada: *Pinus halepensis* + esparto

Durante el año 2023 y 2024 no se produjo ninguna incidencia con comportamiento significativo fuera del periodo que comprende la E.P.A (1jun.-30sept.), sin embargo, durante el año 2025 este tipo de incidencias han sido relevantes durante la E.P.M hasta el registro de precipitación (primera quincena de noviembre). Ello puede deberse al estado de los combustibles en la región (especialmente mitad occidental) caracterizándose por una alta disponibilidad y presencia de alta carga de combustible fino muerto, acentuada por el impacto de la ola de calor de agosto.

3. INDICADORES DE LA PROPAGACIÓN

3.1. Escenario de propagación

Para determinar la disponibilidad de los combustibles forestales, usamos el denominado "Escenario de Propagación" (anteriormente denominado "anomalía climática"). Este parámetro surge de una metodología propia, y se calcula como ponderación de los percentiles de estrés térmico e hídrico (Ecuación 1). En cuanto al estrés hídrico hace referencia a las reservas hídricas del suelo en las capas más superficiales (80 cm). Para el cálculo del estrés hídrico se utiliza el rango del percentil del Drought Code (Turner, 1966)[1]. El estrés térmico representa la persistencia de episodios cálidos o fríos. Se calcula para un lugar (punto de cálculo) y fecha determinada como el promedio de las temperaturas medias de los últimos 6 días y se compara para ese mismo período con el histórico existente (1970-actualidad). Con esta comparativa histórica se calcula el rango del percentil, que al igual que en el caso anterior irá de 0 a 1, siendo 0 el escenario más frío y 1 el escenario más cálido. De modo aproximativo, valores bajos de escenario de propagación se corresponden con escenarios poco favorables al desarrollo de incendios forestales, mientras que un aumento de los valores indica una alta o muy alta disponibilidad del combustible, con posibilidad de incendios de alta intensidad y comportamientos extremos.

Ecuación 1. Algoritmo de cálculo escenario de propagación

$$EP = 0,7*EH + 0,3*ET$$

Siendo:

- *EP = escenario de propagación ($0 \leq EP \leq 1$)*
- *EH = estrés hídrico ($0 \leq EH \leq 1$)*
- *ET = estrés térmico ($0 \leq ET \leq 1$)*

El año 2025 comienza con **valores elevados de percentiles climáticos** (Figura 3), consecuencia de la **escasez de precipitaciones** durante los primeros meses. Esta situación provoca un **déficit progresivo de humedad del suelo**, reflejado en el aumento del **estrés hídrico** y de la **anomalía climática** asociada al escenario de propagación. El **estrés térmico** presenta oscilaciones, pero tiene una influencia secundaria al no mantenerse en valores elevados de forma persistente.

Durante la **primavera**, el aumento significativo de las precipitaciones genera una **mejora clara de las condiciones hídricas**, reduciendo el déficit acumulado y provocando un **descenso acusado de los percentiles climáticos**, que alcanzan su mínimo anual. Aunque el estrés térmico mantiene una elevada variabilidad diaria, su impacto global es limitado frente al efecto amortiguador de la precipitación.

---

1. TURNER, J.A.; LAWSON, B.D.; 1978. Weather in the Canadian Forest Fire Danger Rating System. A user guide to national standards and practices. Environment Canada, Pacific Forest Research Center, Victoria, BC, BC-X-177

A **finales de mayo** se produce un cambio de tendencia asociado a un **episodio de altas temperaturas** y a la **ausencia de precipitación**, lo que incrementa de nuevo el estrés hídrico y térmico y marca la **entrada en la Época de Peligro Alto (E.P.A.)**. Durante el **periodo estival**, los percentiles aumentan progresivamente, alcanzando su **máximo anual en agosto**, coincidiendo con una ola de calor de gran intensidad y una prolongada ausencia de lluvias. La combinación de **altas temperaturas y sequedad persistente** mantiene valores elevados del escenario de propagación hasta septiembre. En la **Época de Peligro Medio (E.P.M.)** los percentiles se mantienen altos debido a la continuidad de condiciones secas. Con la entrada en la **Época de Peligro Bajo (E.P.B.)**, el estrés térmico desciende por la bajada de temperaturas, pero el **estrés hídrico continúa elevado**, impidiendo una reducción completa del escenario de propagación y manteniendo un **riesgo moderado** al final del año.

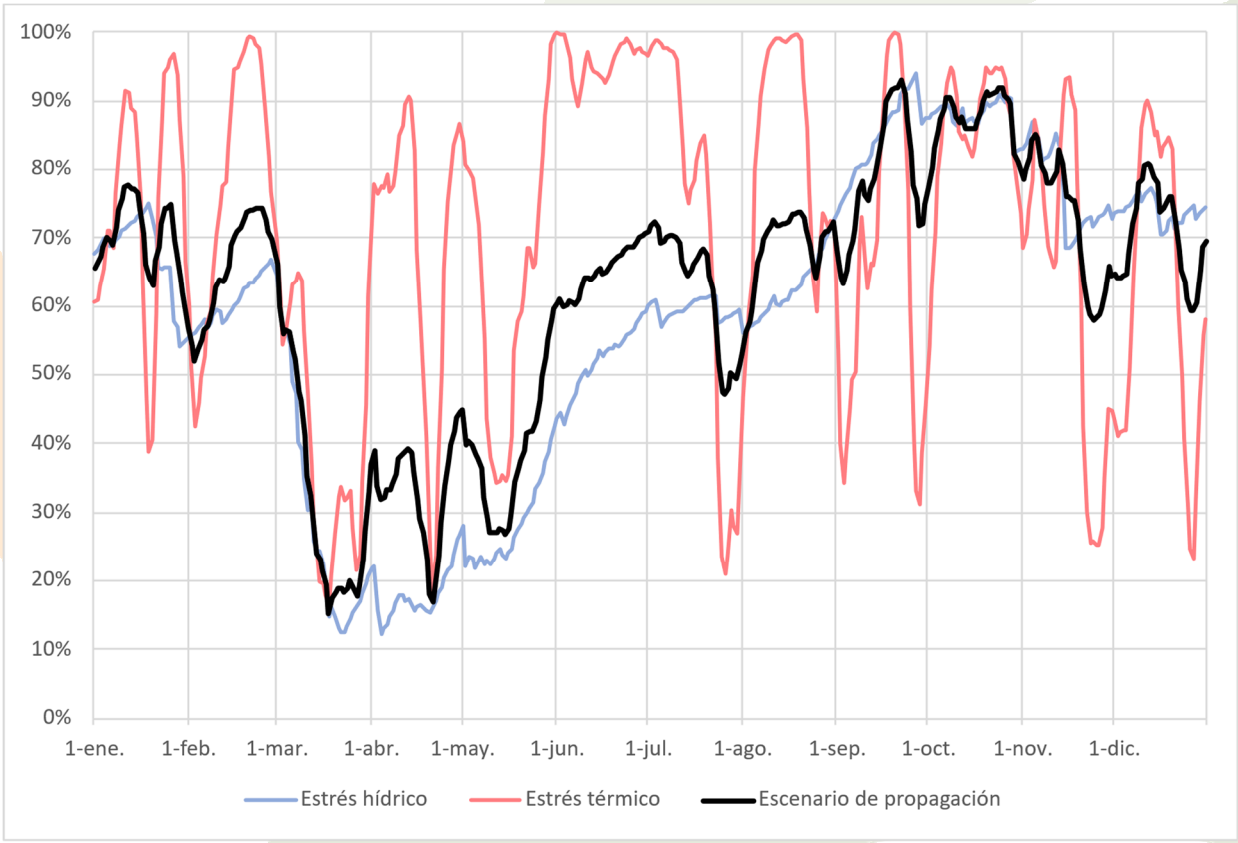

Figura 3: variación percentiles climáticos Castilla-La Mancha

3.2. Índice de Propagación Potencial (IPP)

El Índice de Propagación Potencial (IPP) de peligro de incendios forestales estima la intensidad potencial, el grado de daños y el esfuerzo de contención que un incendio forestal podría llegar a alcanzar en un determinado momento y lugar dentro de la región. Se refiere a la estimación del máximo nivel de propagación posible para un día determinado, conjugando parámetros meteorológicos, climáticos y la estimación de la disponibilidad del combustible. El algoritmo de cálculo de IPP se presenta en Ecuación 2.

Ecuación 2. Algoritmo de cálculo Índice de Propagación Potencial (IPP)

$$IPP = (V/1HR) * DPV * EP$$

Siendo:

- *IPP = índice de propagación potencial*
- *V = velocidad del viento a 10 m (km/h)*
- *1HR = humedad del combustible fino muerto (%)*
- *DPV = déficit de presión de vapor (kPa)*
- *EP = escenario de propagación (considerando Estrés térmico y estrés hídrico)*

Durante el año 2025 el 11% de los días el IPP se ha situado por encima del percentil 95 de la serie histórica, coincidiendo con el 5% durante la EPB, 1% durante la EPM y 5% durante la EPA.

La Figura 4 muestra la evolución del IPP durante la Época de Peligro Medio, Alto y Extremo (mayo-octubre) así como la superficie afectada de forma diaria. Se muestran además los incendios forestales superiores a las 100 ha identificándolos en la escala temporal (Tabla 2; Figura 4)

Tabla 2: Incendios forestales >100 ha año 2025

Nº	Municipio	Fecha	Superficie (ha)
1	Chinchilla de Monte-Aragón (AB)	15/06/2025	231
2	Burujón (TO)	16/06/2025	478,12
3	Alcaudete de la Jara (TO)	02/07/2025	107,94
4	Calera y Chozas (TO)	16/07/2025	134
5	Méntrida (TO)	17/07/2025	2984,48
6	Pozuelo de Calatrava (CR)	18/07/2025	248,31
7	Maqueda (TO)	18/07/2025	501,78
8	Brazatortas (CR)	29/07/2025	229,1
9	Brazatortas (CR)	08/08/2025	444,16
10	Navalmoralejo (TO)	11/08/2025	2978,77
11	Alberche del Caudillo (TO)	12/08/2025	692
12	Polán (TO)	13/09/2025	314,54
13	Cardoso de la Sierra (GU)	21/09/2025	2410
14	Brazatortas (CR)	05/10/2025	118
15	Rielves (TO)	07/10/2025	183
16	Almorox (TO)	09/10/2025	393

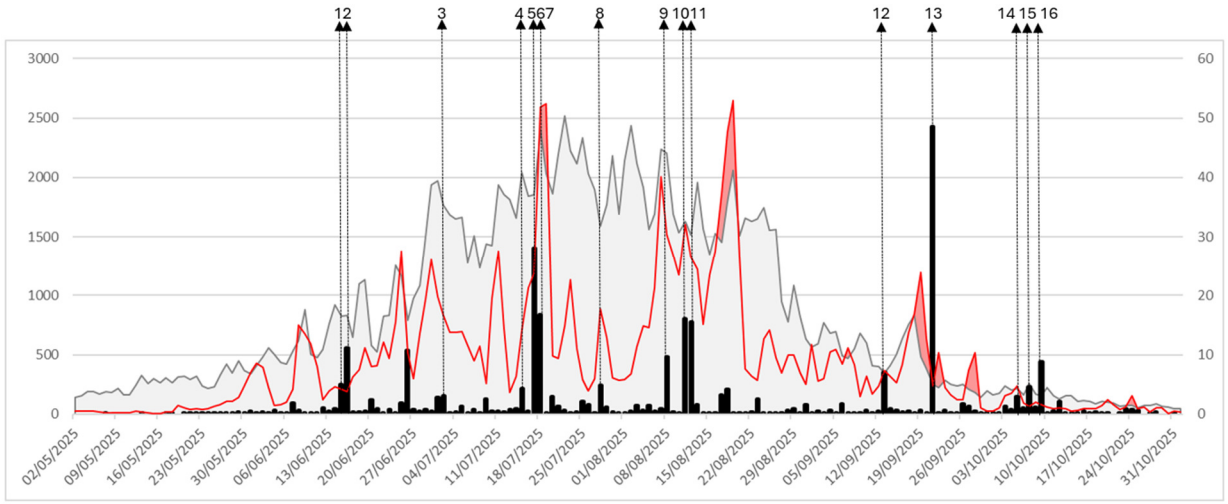

Figura 4: Valor del IPP medio a nivel regional (eje izq. Valor adimensional) y superficie quemada (eje izq. hectáreas). La línea roja muestra el valor del IPP medio a nivel regional, con fondo rojo para aquellos días por encima al percentil 95

4. ESTADO DE LOS COMBUSTIBLES.

La evolución del comportamiento del fuego en Castilla-La Mancha durante el año 2025 estuvo determinada de forma decisiva por la dinámica de la humedad del combustible vivo y por la información aportada por los índices satelitales de verdor (NDVI y su relativización según la serie histórica -RG-) y actividad fotosintética (fAPAR y su relativización según la serie histórica -RfAPAR) que, en conjunto, permiten interpretar con precisión la transición desde un escenario de elevada disponibilidad hídrica a comienzos de año hacia un escenario de sequedad extrema y alta peligrosidad durante el periodo estival. Ambos conjuntos de datos muestran una coherencia temporal clara con los principales episodios de comportamiento significativo del fuego registrados en la región.

Durante el invierno y la primavera de 2025, los índices satelitales presentaron valores generalizados por encima de la media histórica en toda la región, reflejando una elevada actividad fotosintética y un estado de verdor notablemente alto de la vegetación. Este comportamiento fue consecuencia directa del régimen de precipitaciones registrado durante estos meses, especialmente durante la primavera, que adquirió un carácter muy húmedo según AEMET. La respuesta fue especialmente marcada en las provincias occidentales, Ciudad Real y Toledo, donde la vegetación herbácea y los pastizales tienen un peso estructural mayor y reaccionan de forma rápida a las condiciones meteorológicas favorables, alcanzando valores cercanos al percentil 90 de los índices. En paralelo, las mediciones de humedad del combustible vivo mostraron que tanto las especies arbustivas como las arbóreas presentaban contenidos de humedad muy elevados, con valores situados de forma generalizada en percentiles próximos o superiores al 95. Esta situación definía un escenario de baja peligrosidad efectiva desde el punto de vista del comportamiento del fuego, pero al mismo tiempo favorecía una acumulación excepcional de biomasa, especialmente en el estrato herbáceo y arbustivo, que posteriormente actuaría como elemento clave en la propagación de los incendios. A finales de la primavera se produjo un cambio de tendencia claramente identificable tanto en los índices satelitales como en la evolución de la humedad del combustible vivo. El episodio de altas temperaturas registrado

a finales de mayo, junto con la ausencia de precipitaciones, dio lugar al inicio del agostamiento del estrato herbáceo y a un descenso acusado de los índices, especialmente en las provincias occidentales, donde el descenso fue más brusco debido a la rápida respuesta de pastizales y herbáceas. Sin embargo, este descenso de los índices no implicó de forma inmediata una disponibilidad total del combustible vivo leñoso. Las mediciones directas muestran que, aunque las especies arbustivas comenzaron a perder humedad de forma acelerada, situándose en percentiles bajos (5-25), las especies arbóreas mantuvieron aún valores relativamente elevados, especialmente los pinares. Este desacople temporal explica que los primeros comportamientos significativos de fuego observados al inicio de la Época de Peligro Alto estuvieran dominados por propagaciones rápidas sobre combustible fino muerto, con participación limitada del combustible vivo y sin desarrollos de alta intensidad generalizada.

Durante junio y julio, los índices satelitales siguieron una evolución próxima a su curva característica, con valores ligeramente superiores a la media, especialmente en el caso del fAPAR, lo que indica que la actividad fotosintética no se encontraba aun completamente paralizada. Esta situación refleja la inercia hídrica de las especies leñosas, que todavía conservaban niveles de humedad relativamente altos. No obstante, las mediciones de humedad del combustible vivo muestran una pérdida progresiva y constante en el estrato arbustivo y herbáceo en todas las provincias. En Ciudad Real, Albacete y Toledo, especies como jara, romero o retama comenzaron a situarse de forma recurrente por debajo del 60–70 %, alcanzando condiciones de disponibilidad total o casi total, mientras que las encinas se aproximaban a umbrales críticos de inflamabilidad. Los pinares, por el contrario, mantuvieron valores superiores al 100 %, actuando como elementos de menor participación directa. Este escenario explica el aumento de incendios de rápida propagación superficial observados en este periodo, con participación pasiva del combustible vivo en zonas de alineación y un incremento progresivo de la intensidad.

El punto de ruptura tuvo lugar en el mes de agosto, coincidiendo con la segunda ola de calor del verano, que provocó un descenso generalizado y abrupto de los índices satelitales por debajo de la media histórica en todas las provincias. Este descenso fue especialmente acusado en Toledo y Ciudad Real, donde los valores se aproximaron al percentil 25, reflejando una paralización clara de la actividad fotosintética y un estrés hídrico severo de la vegetación. Este comportamiento satelital se corresponde de forma directa con los mínimos anuales de humedad del combustible vivo registrados durante agosto y principios de septiembre. Los combustibles arbustivos alcanzaron valores inferiores al 60 % de forma generalizada, confirmando su disponibilidad total, mientras que las encinas se mantuvieron de forma persistente en torno al 70 %, entrando plenamente en condiciones de participación. Incluso los pinares, aunque conservaron humedades más elevadas, mostraron signos de estrés fisiológico, especialmente en provincias como Guadalajara y Cuenca. La coincidencia temporal entre estos mínimos de humedad, los valores bajos de los índices satelitales y la ocurrencia de los incendios de mayor magnitud y comportamiento extremo pone de manifiesto la relación directa entre el estado hídrico del combustible vivo y la evolución del comportamiento del fuego. Incendios como Navalmoralejo, Calera y Chozas, Méntrida, Anchuras, Brazatortas, La Huerce o Cardoso de la Sierra se desarrollaron bajo un escenario de disponibilidad total del matorral y participación de quercíneas, con altas intensidades, rápidas velocidades de propagación, focos secundarios y, en algunos casos, fuego pasivo de copas, incluso en ausencia de una continuidad elevada de combustible fino muerto superficial. El análisis conjunto de ambos conjuntos de datos permite además identificar diferencias provinciales claras. En Ciudad Real y

Toledo, la elevada presencia de herbáceas y pastizales explica tanto los picos primaverales de los índices como los descensos bruscos estivales, así como la rápida transición hacia escenarios de alta peligrosidad. En estas provincias, la degradación temprana del matorral fue determinante en la virulencia de los incendios. En Albacete, la respuesta fue más heterogénea debido a la coexistencia de arbolado, matorral y atochares, lo que suavizó parcialmente la señal satelital y permitió breves recuperaciones de humedad sin repercusión operativa significativa, aunque la pérdida de humedad en el matorral fue igualmente clave en los incendios estivales. Guadalajara presentó el mayor contraste interno, con pinares que mantenían cierta inercia hídrica frente a matorrales extremadamente secos, lo que favoreció incendios de alta intensidad en la Sierra Norte bajo condiciones meteorológicas no extremas. En Cuenca, aunque el número de incendios fue menor, se observó una persistencia de humedades bajas durante todo el verano, con mínimos muy acusados en septiembre, coherentes con propagaciones rápidas en matorral seco y pinar degradado. Tras el final de la EPA, los índices satelitales muestran una recuperación parcial asociada a la mejora de las condiciones meteorológicas. Sin embargo, esta recuperación fue incompleta, especialmente en las provincias occidentales, donde los valores se mantuvieron por debajo de la media debido al estado degradado de herbáceas y pastizales. Esta dinámica se reflejó en la humedad del combustible vivo, que mostró una recuperación más rápida en el estrato arbustivo que en el arbóreo, manteniéndose este último en percentiles bajos durante buena parte del otoño. Este contexto explica que la Época de Peligro Medio se iniciara con una disponibilidad significativa del combustible leñoso, condicionada por la carga y continuidad de combustible fino muerto, manteniéndose la posibilidad de incendios con propagación relevante bajo la concurrencia de factores dinamizadores como el viento o la convección.

5. ESTADISTICA

5.1. Comparativa estadística con el último decenio

En este apartado se desarrolla una comparativa estadística del año 2025 respecto al último decenio (2015-2024).

Tabla 3. Comparativa del número de incendios y superficies afectadas del último decenio y de 2025 (años completos).

AÑO	Nº INCENDIOS	SUPERFICIE FORESTAL (Ha)	SUPERFICIE NO FORESTAL (Ha)	SUPERFICIE TOTAL (Ha)	GIF
2015	1.542	3.716,51	3.583,16	7.299,67	2
2016	1.283	3.442,19	3.672,74	7.114,93	1
2017	1.451	6.362,12	2.341,79	8.703,91	2
2018	985	1.264,36	1.619,87	2.884,23	0
2019	1.292	7.045,07	2.414,46	9.459,53	3
2020	1.373	2.803,18	3.434,45	6.237,63	0
2021	1.955	6.321,01	3.751,55	10.072,56	5
2022	1.538	14.337,32	7.578,28	21.915,60	7
2023	969	1.432,73	481,23	1.913,96	0
2024	1.152	6.177,09	3.434,89	9.611,98	3
2025	**1.606**	**7.473,41**	**6.802,45**	**14.275,85**	**5**
PROMEDIO ÚLTIMO DECENIO	**1.354**	**5.290,16**	**3.231,24**	**8.521,40**	**2,55**

En las siguientes figuras (Figura 5, 6, 7 y 8) se muestra gráficamente la evolución durante los últimos once años del número de incidentes, tanto forestales cómo no forestales, así como la superficie afectada por estos. El año 2025 se presenta como la segunda anualidad con mayor número de incendios (1.606) y superficie afectada (forestal y no forestal) del último decenio (7.473,41ha forestales y 6.802,45ha no forestales).

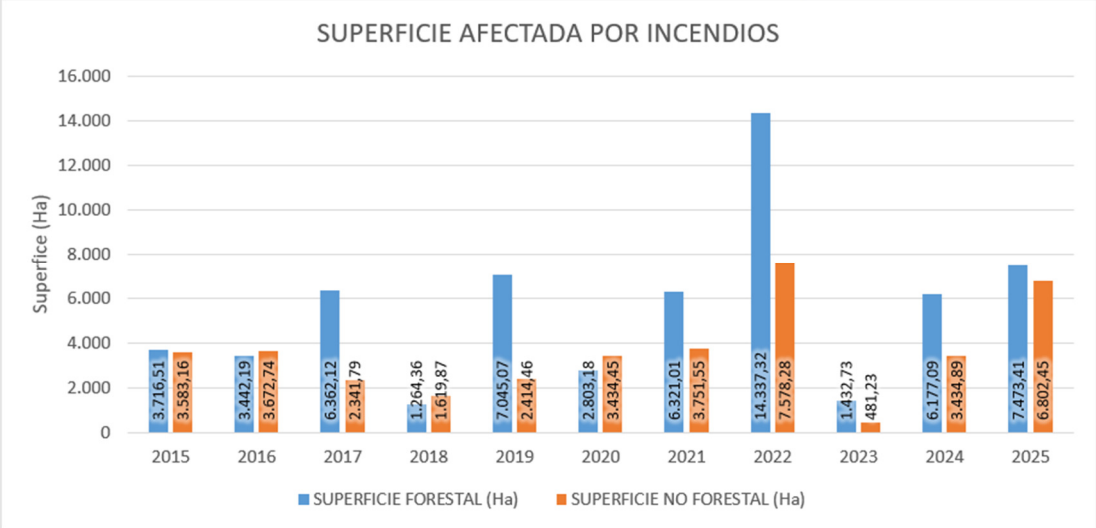

Figura 5. Comparativa de superficie afectada (forestal y no forestal) por incendio en el último decenio y en el año 2025.

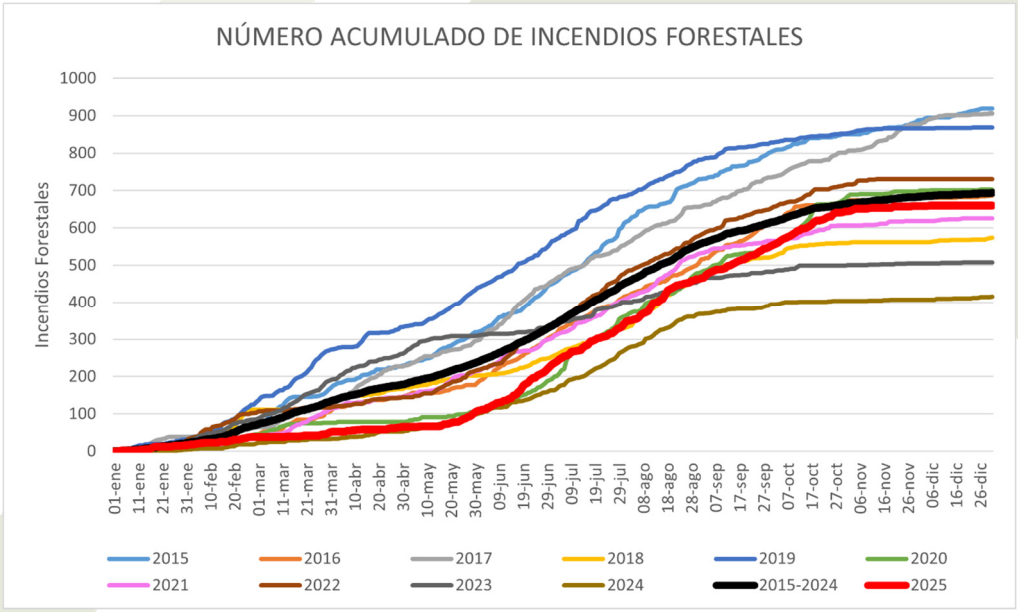

Figura 6. Comparativa del acumulado de Incendios Forestales (sin incluir otras intervenciones).

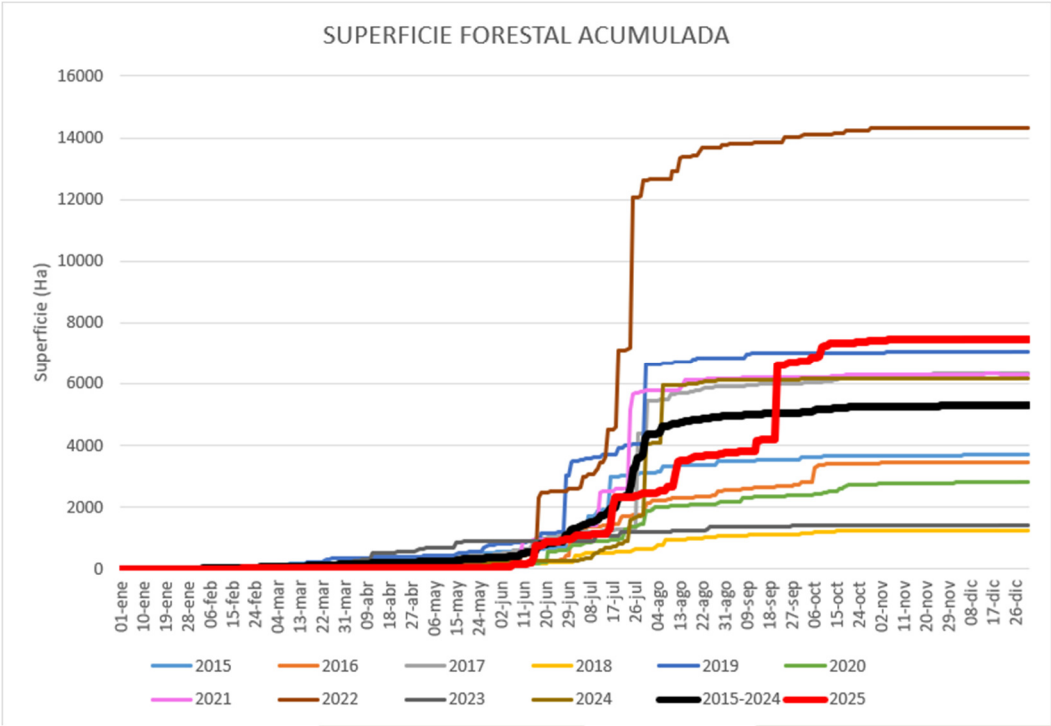

Figura 7. Comparativa de la superficie forestal acumulada del último decenio y de 2025.

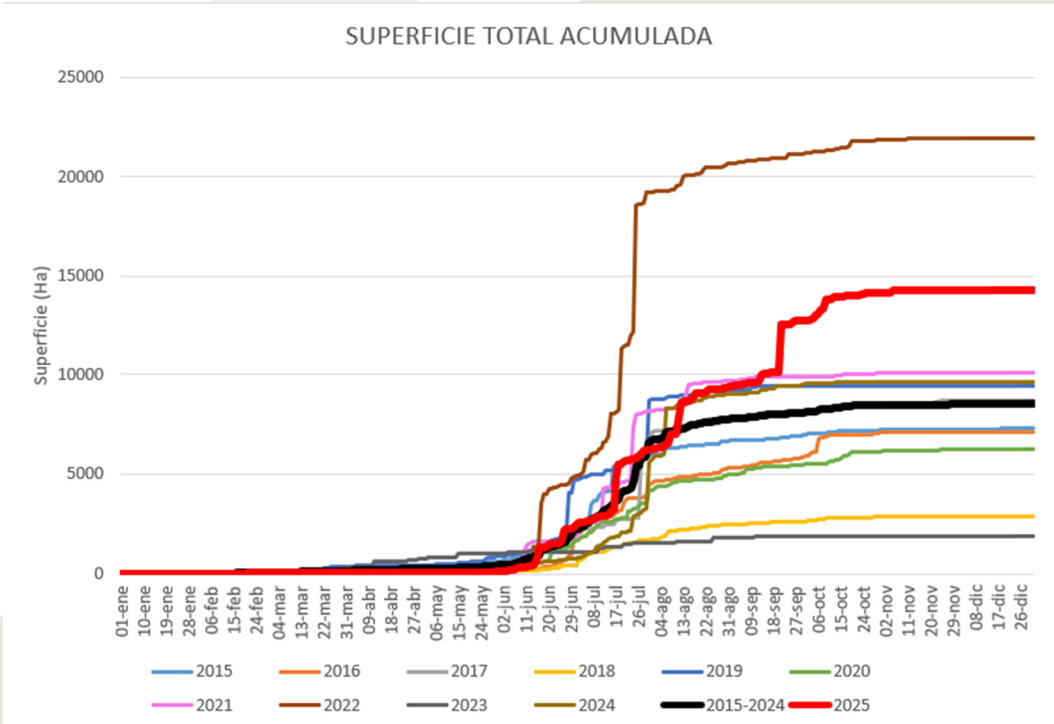

Figura 8. Comparativa de la superficie total acumulada del último decenio y de 2025.

5.2. Causalidad de incendios forestales

Respecto a la causalidad de incendios forestales, el año 2025 presenta cambios en el registro de los grupos de causas de incendios, por lo que para realizar una correcta comparación de datos con el último decenio se han renombrado los grupos de causas según se indica en la Tabla 4.

Tabla 4. Equivalencia de los grupos de causas usados hasta 2024 y los de 2025.

Grupo causa 2015 a 2024	Grupo causa 2025
CAUSA DESCONOCIDA	SIN DETERMINAR
NEGLIGENCIAS Y CAUSAS ACCIDENTALES	NEGLIGENTE
NEGLIGENCIAS Y CAUSAS ACCIDENTALES 2	ACCIDENTES
RAYO	NATURALES

La Tabla 5 y la Figura 9 presentan la distribución porcentual del **número de incendios** y de la **superficie afectada** (forestal, no forestal y total) según el **grupo de causa** durante el año 2025. En cuanto al número de incendios, la **causa desconocida** concentra el mayor porcentaje (31%), seguida de los incendios **intencionados** (24%) y los debidos a **negligencias** (20%). Los incendios por **accidente** y **causas naturales** representan proporciones menores, mientras que el **incendio reproducido** es residual.

Respecto a la superficie forestal afectada, destacan claramente las **causas naturales**, responsables del 42% del total, a pesar de su menor frecuencia. Las **negligencias** también tienen un peso relevante (26%), mientras que los incendios intencionados y accidentales afectan a superficies más reducidas. En la superficie no forestal, las **negligencias** y los **accidentes** concentran los mayores porcentajes. En conjunto, la superficie total afectada muestra un reparto más equilibrado, aunque las **negligencias** y las **causas naturales** siguen siendo determinantes.

Tabla 5. Distribución del número de incendios forestales, de la superficie forestal, no forestal y total afectada por grupo de causa durante 2025 y del promedio anual del periodo 2015-2024.

	PROMEDIO-2015-2024				2025			
	Nº INCENDIOS	SUPERFICIE FORESTAL (Ha)	SUPERFICIE NO FORESTAL (Ha)	SUPERFICIE TOTAL (Ha)	Nº INCENDIOS	SUPERFICIE FORESTAL (Ha)	SUPERFICIE NO FORESTAL (Ha)	SUPERFICIE TOTAL (Ha)
SIN DETERMINAR	278	443,80	483,81	927,61	375	568,01	1214,62	1782,64
INCENDIO REPRODUCIDO	19	79,61	36,35	115,96	21	19,47	65,33	84,81
INTENCIONADO	304	1399,05	667,61	2066,66	298	1067,30	1283,69	2350,99
NEGLIGENTE	294	1012,40	431,41	1443,81	250	1910,93	2057,48	3968,42
ACCIDENTE	154	1905,09	1534,22	3439,32	160	740,28	1680,79	2421,07
CAUSAS NATURALES	89	435,55	61,85	497,40	116	3167,40	453,51	3620,91
En investigación	217	14,66	15,98	30,64	386	0,00	47,02	47,02

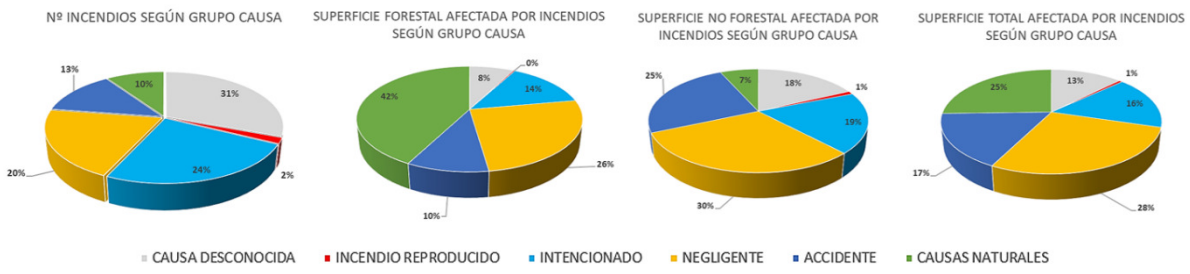

Figura 9. Distribución del número de incendios, así como de su superficie afectada, en función del grupo de causa.

6. CONCLUSIONES

1) La sucesión de anomalías meteorológicas en 2025, con una **primavera muy húmeda** seguida de **episodios térmicos extremos**, condicionó una evolución progresiva y escalonada del comportamiento del fuego en Castilla-La Mancha, marcando varios **puntos de inflexión**.

2) La E.P.A. 2025 se inició bajo un escenario de **elevada carga y continuidad de combustible fino muerto**, resultado de una primavera excepcionalmente húmeda que favoreció un desarrollo abundante del estrato herbáceo en toda la región. El **rápido agostamiento** asociado al episodio cálido de **finales de mayo** aceleró la transición hacia condiciones de riesgo elevado, especialmente en las provincias occidentales de Toledo y Ciudad Real.

3) La **ola de calor de agosto de 2025** ocasionó una **degradación masiva del combustible forestal** en toda Castilla-La Mancha. En **Guadalajara**, adquirió una relevancia especial debido a la menor frecuencia histórica de este tipo de fenómenos, lo que acentuó una degradación significativa del combustible, aumentando la susceptibilidad a la ignición y a la propagación del fuego, favoreciendo la ocurrencia de **comportamientos de muy alta intensidad**.

4) El desarrollo de la **E.P.A. 2025** presenta **cuatro episodios críticos** que actúan como **puntos de inflexión en la evolución del riesgo**, definidos por cambios en las **condiciones meteorológicas** y en la **disponibilidad del combustible forestal**: episodio de tormentas secas precedido de agostamiento de combustible herbáceo y aumento disponibilidad parcial de combustible vivo; episodio de viento precedido de ola de calor; intensa ola de calor y de gran extensión y disponibilidad total de combustible forestal (vivo y muerto) favorecida por condiciones acumuladas de toda la EPA

5) El inicio de la **EPM** queda caracterizado por una **elevada disponibilidad del combustible forestal,** manteniendo el riesgo de propagación elevado. Se destaca una tendencia a la recuperación de la humedad del combustible forestal, aunque con valores muy por debajo de la media.

6) El año 2025 se presenta como la **segunda anualidad con mayor número de incendios** (1.606) y **superficie afectada** (forestal y no forestal) del último decenio (7.473,41ha forestales y 6.802,45ha no forestales).

7) Al margen de las causas desconocidas, los incendios **intencionados** y las **negligencias** concentraron la mayor parte de los siniestros en 2025, reflejando que la actividad humana siguió siendo el principal factor de ignición. Los incendios por **causas naturales** y **accidentales** presentaron una frecuencia menor, aunque con comportamientos potencialmente más relevantes en determinados episodios meteorológicos.

8) Las **causas naturales**, pese a su menor número de incendios, fueron responsables de la mayor parte de la **superficie forestal afectada**, lo que pone de manifiesto su asociación con episodios de alta intensidad y condiciones meteorológicas adversas. Por su parte, las **negligencias** y los **accidentes** tuvieron un mayor impacto en la superficie no forestal, evidenciando su relación con actividades humanas desarrolladas en periodos de riesgo elevado.